

# 1.1 实验一 CMOS 反相器

## 一、实验要求

设置反相器晶体管尺寸、计算、测试开关阈值  $V_M$ 、测试 VTC 测试、分析计算高电平噪声容限、低电平噪声容限、并完成测试。

## 二、实验目的

- 1、了解 virtuoso 的使用；
- 2、了解反相器的搭建方法；
- 3、了解开关阈值、VTC、高低电平噪声容限的定义及计算方法。

## 三、实验内容

- 1、设计 CMOS 反相器的尺寸，NMOS 的宽度为 120nm 不变，使开关阈值  $V_M$  分别为 0.63V, 0.55V, 0.52V，给出仿真结果和尺寸；
- 2、若 CMOS 反相器的尺寸为 PMOS=330nm/40nm, NMOS=280nm/40nm，试通过 DC 仿真的结果计算噪声容限 NML 及 NMH；
- 3、若 CMOS 反相器的尺寸为 PMOS=330nm/40nm, NMOS=280nm/40nm，通过仿真，求得  $tr$ ,  $tf$ ,  $tphl$ ,  $tplh$ ? 若  $L=40nm$  且 NMOS 宽度为 120nm，设计 CMOS 反相器尺寸，使  $tphl=tplh$ ，给出仿真结果和尺寸；
- 4、若 CMOS 反相器的尺寸为 PMOS=330nm/40nm, NMOS=280nm/40nm,  $VDD=1.1V$ ,  $Vin$  与内容 3 一致，通过仿真，求 CMOS 反相器 0~20ns 的总能耗；

## 四、实验步骤

### 4.1 阈值电压计算

为高效地找到  $W_p$  与  $V_M$  的对应关系，我们采用了参数扫描与表达式自动提取相结合的方法，避免了手动读取 VTC 曲线交点的繁琐和误差。

#### (1) 设置 DC 扫描：

- 在 Analyses 中选择 dc 仿真。
- Sweep Variable 选择 Component Parameter。
- Sweep Range 设置为从 0 到 1.1, Sweep Type 设为 Auto。

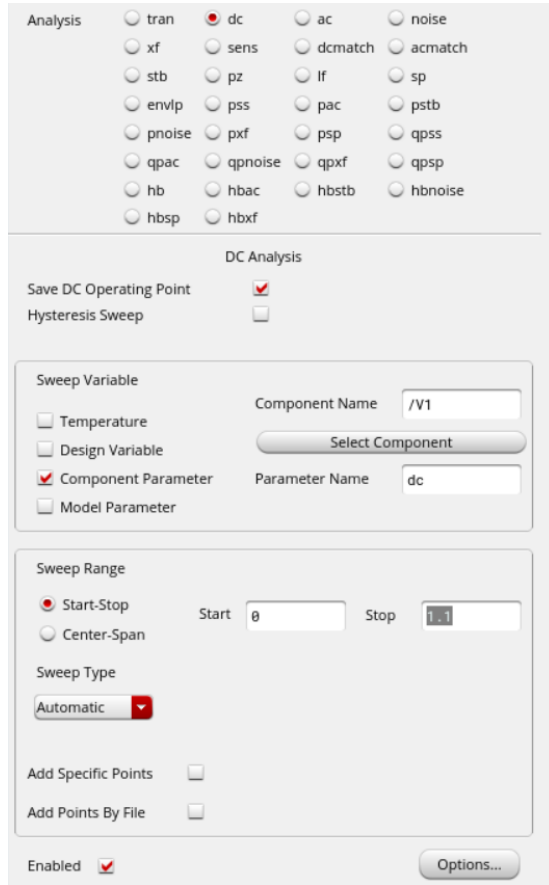


图 1 dc 仿真参数设置

## (2) 设置参数扫描:

- 打开 Tools → Parametric Analysis。
- 在 Variable 处填入变量名 wp。
- Sweep Range 设置一个较宽的“粗扫”范围：从 120n 到 5u，步数设为 40。
- 完成参数粗扫实验。

Variable	Value	Sweep?	Range Type	From	To	Step Mode	Total Steps	Inclusion List	Exclusion List
wp		<input checked="" type="checkbox"/>	From/To	120n	5u	Auto	40		

图 2 粗扫参数设置

## (3) 设置 $V_M$ 自动提取表达式:

1. 在图像显示窗口，选择 Tools → Calculator.。
2. 在 Calculator 中构建一个表达式，用于自动计算  $V_{in}$  和  $V_{out}$  的交点。由于 `vt()` 函数在 dc 扫描中存在上下文读取陷阱（似乎会出现在 dc 仿真中无法读取瞬时电压的报错），我们使用 `getData()` 函数来明确指定读取 dc 仿真的结果：

```
cross(getData("/out" ?result "dc") - getData("/in" ?result "dc")) 0 1 "either")
```

#### 参数说明：

- `getData("/out" ?result "dc")`: 强制从 dc 仿真结果中提取 /out 节点的电压波形。
- `getData("/in" ?result "dc")`: 强制从 dc 仿真结果中提取 /in 节点的电压波形。
- `cross(...)`: 查找 ( $V_{out} - V_{in}$ ) 波形穿过 0 点 (即  $V_{out} = V_{in}$ ) 时的横坐标值 (即  $V_M$  ) 。

3. 将表达式命名为 VM，并确保它被勾选以便于绘制。

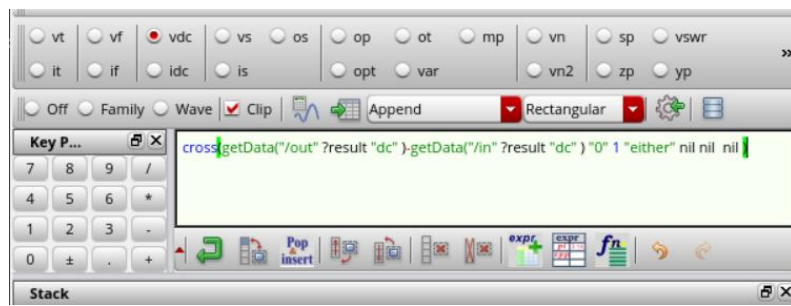


图 3 VM 公式设置

#### (4) 绘制 $V_M - w_p$ 曲线&提取答案

1. 根据不同的  $w_p$  的数值在曲线中找到对应的  $V_M$  值。

## 4.2 噪声容限计算

$V_{OH}$  和  $V_{OL}$  是通过 `value()` 函数在 dc 扫描的端点处 ( $V_{in}=0$  和  $V_{in}=V_{dd}$ ) 对输出波形  $V(out)$  进行取值得到的。

**VOH:** 获取 /out 波形在  $V_{in}=0$  时的 Y 值。

```
value(getData("/out" ?result "dc") 0)
```

**VOL:** 获取 /out 波形在  $V_{in}=1.1$  ( $V_{dd}$ ) 时的 Y 值。

```
value(getData("/out" ?result "dc") 1.2)
```

**VIL:** 找到增益曲线 (`deriv(Vout)`) 第 1 次下降穿过  $y = -1$  时的 x 坐标值。

```
cross(deriv(getData("/out" ?result "dc")) -1 1 "falling")
```

**VIH:** 找到增益曲线 (`deriv(Vout)`) 第 1 次上升穿过  $y = -1$  时的 x 坐标值。

```
cross(deriv(getData("/out" ?result "dc")) -1 1 "rising")
```

通过直接引用上述表达式，我们可以让 ADE L 自动完成减法运算，直接输出最终结果：

NML (低电平噪声容限)：  $N_{M_L} = V_{IL} - V_{OL}$

```
cross(deriv(getData("/out" ?result "dc")) -1 1 "falling") -
value(getData("/out" ?result "dc") 1.2)
```

NMH (高电平噪声容限)：  $N_{M_H} = V_{OH} - V_{IH}$

```
value(getData("/out" ?result "dc") 0) - cross(deriv(getData("/out" ?result
"dc")) -1 1 "rising")
```

运行 dc 仿真后，ADE L 的 Outputs 窗口将直接显示 NML 和 NMH 的计算结果，无需手动绘图和测量。

### 4.3 延迟时间计算 $W_p$ 参数

#### 子实验一：延迟时间测量

在输出端接一个负载电容  $C_L$  (50fF) 至地。

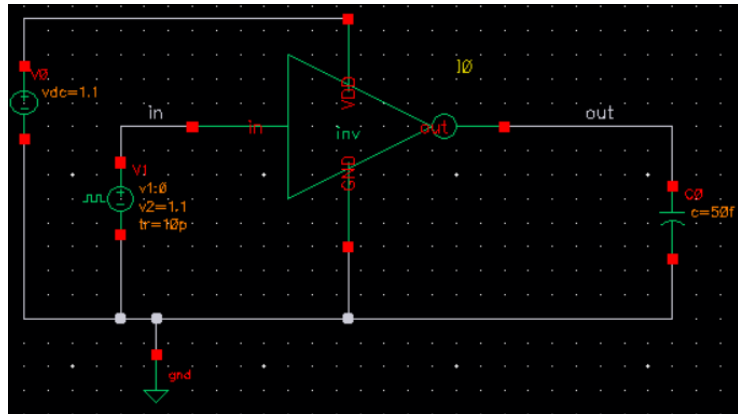


图 4 测试电路图

在输出图像的 Tools → Calculator 窗口中，添加以下四个表达式：

输出名称	表达式
$t_{phl}$	<code>delay(getData("/in" ?result "tran") 0.55 1 "rising")</code> <code>getData("/out" ?result "tran") 0.55 1 "falling")</code>
$t_{plh}$	<code>delay(getData("/in" ?result "tran") 0.55 1 "falling")</code> <code>getData("/out" ?result "tran") 0.55 1 "rising")</code>
$t_r$	<code>riseTime(getData("/out" ?result "tran") 0.11 0.99 1</code> <code>"rising")</code>

$t_f$	<code>fallTime(getData("/out" ?result "tran") 0.99 0.11 1 "falling")</code>
-------	---

子实验二： $W_p$  尺寸优化 ( $t_{phl} = t_{plh}$ )

设置设计变量：将 PMOS 宽度  $W_p$  设置为变量 wp。

设置参数扫描：

- 启用 Parametric Analysis, Variable 为 wp。
- 粗扫描范围：从  $120n$  到  $600n$ ，步数 20。（比例系数从 1 到 5）

设置目标函数：

- 目标是找到  $t_{phl} - t_{plh} = 0$  时的  $W_p$  值。
- 在 Tools → Calculator 中，添加一个表达式：

输出	表达式
DELAY_DIFF	<code>delay(getData("/in" ?result "tran") 0.6 1 "rising" getData("/out" ?result "tran") 0.6 1 "falling") - delay(getData("/in" ?result "tran") 0.6 1 "falling" getData("/out" ?result "tran") 0.6 1 "rising")</code>

## 4.4 功耗计算

在输出图像的 Tools → Calculator 窗口中，添加以下表达式，用于直接计算总能耗  $E_{total}$ 。

输出	表达式
$E_{total}$	<code>integ(1.1 * (-IT("/V0/plus")) 0 20n)</code>

# 五、实验结果

## 5.1 阈值电压计算

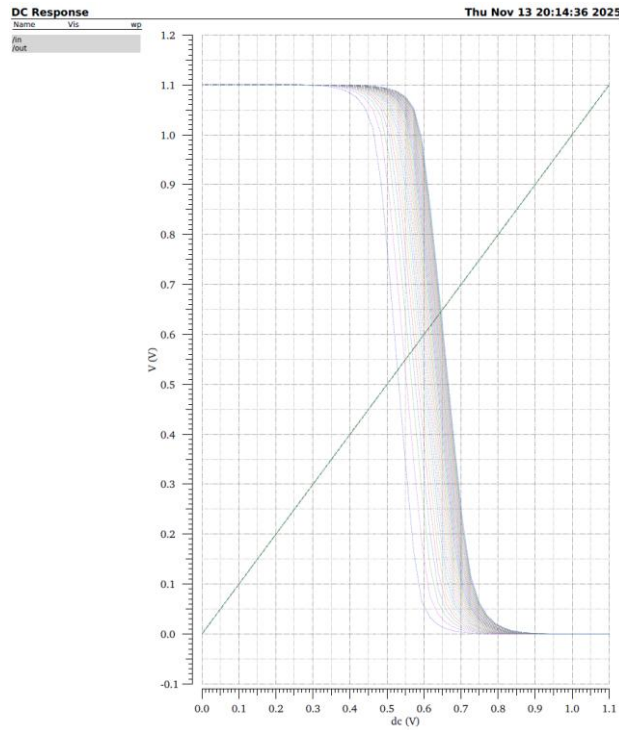


图 5  $w_p$  参数扫描曲线

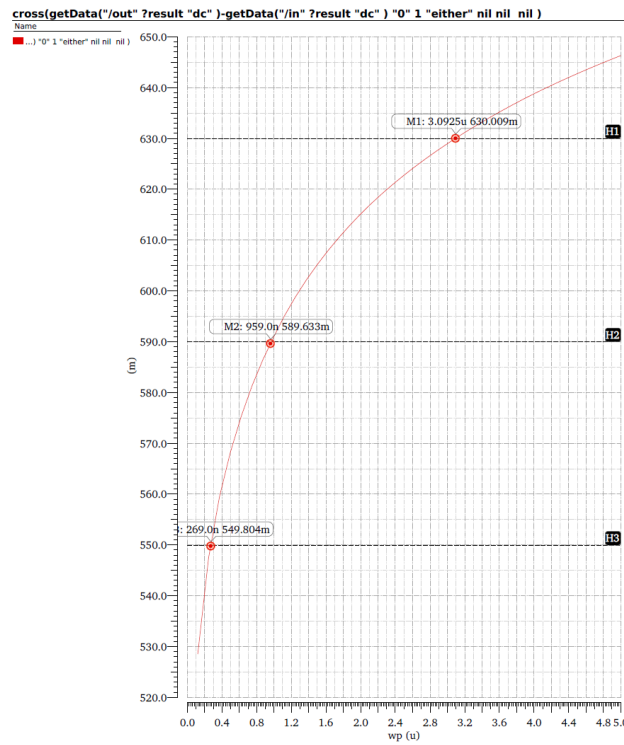


图 6  $V_M - w_p$  曲线（结果在图上有标注）

## 5.2 噪声容限计算

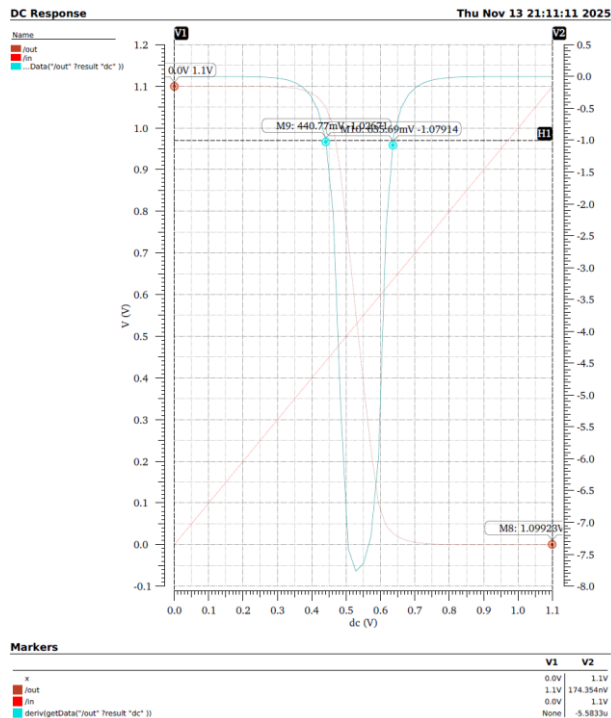


图 6 dc 仿真曲线 & deriv 曲线

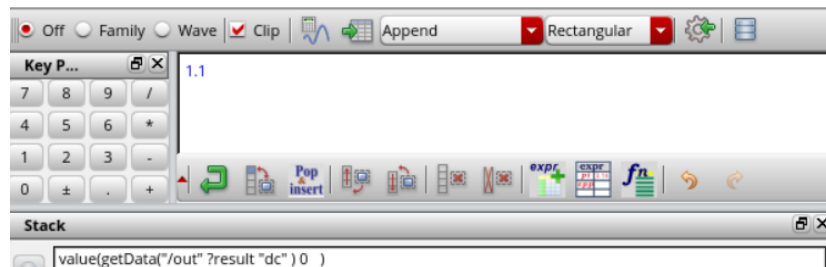


图 7  $V_{OH}$  计算(公式在 Stack 的顶层)

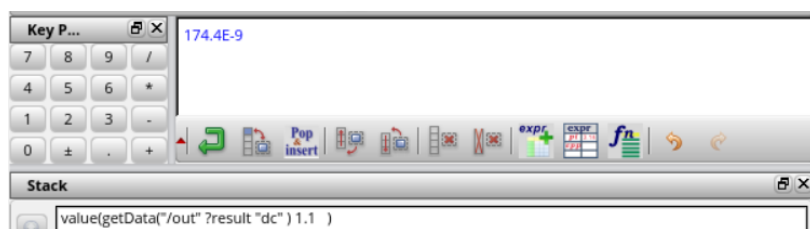


图 8  $V_{OL}$  计算(公式在 Stack 的顶层)

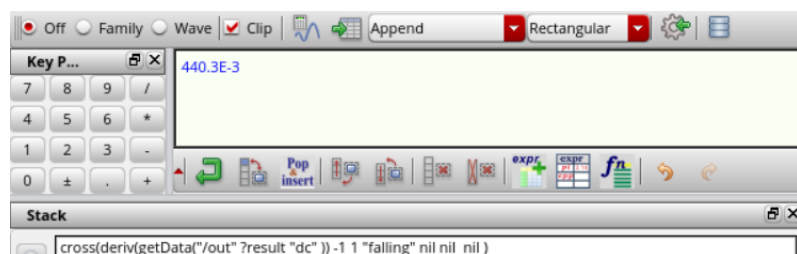


图 9  $V_{IL}$  计算(公式在 Stack 的顶层)

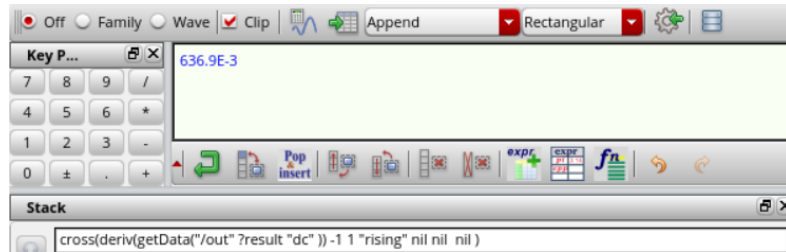


图 10  $V_{IH}$  计算(公式在 Stack 的顶层)

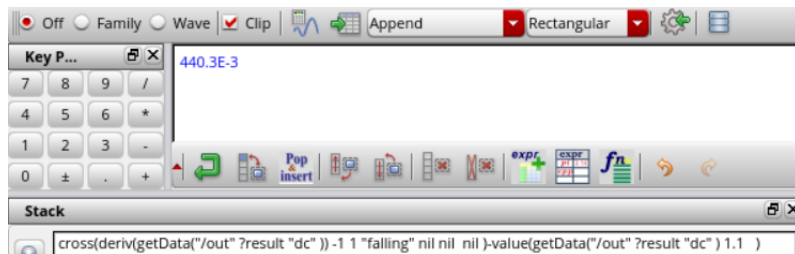


图 11  $N_{ML}$  计算(公式在 Stack 的顶层)

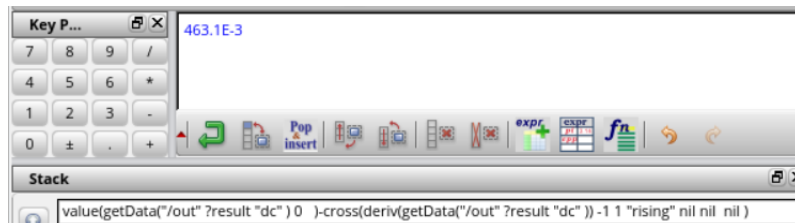


图 12  $N_{MH}$  计算(公式在 Stack 的顶层)

噪声容限	预期结果	仿真结果	绝对差异 (mV)	差异率
$N_{ML}$	$0.440V$	$0.4403V$	$0.3mV$	$\approx 0.07\%$
$N_{MH}$	$0.460V$	$0.4631V$	$3.1mV$	$\approx 0.67\%$

结果的精确度基本达到工程分析的要求。微小的差异是仿真工具的数值精度高于理论公式精度的体现。

### 5.3 延迟时间计算

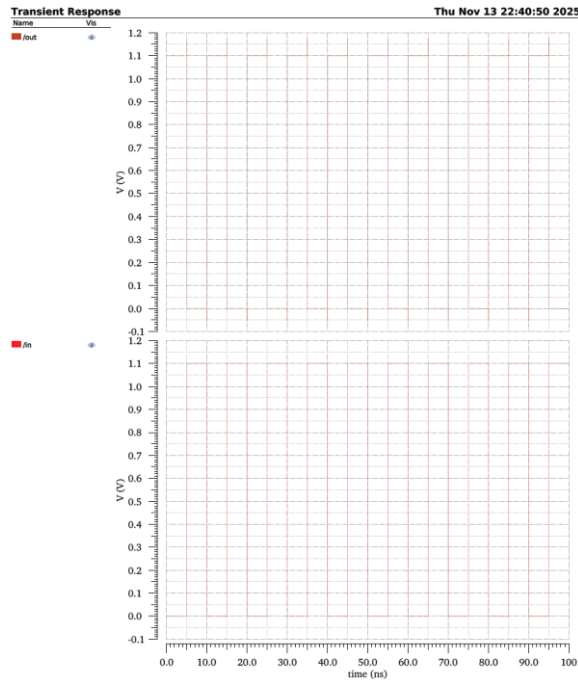
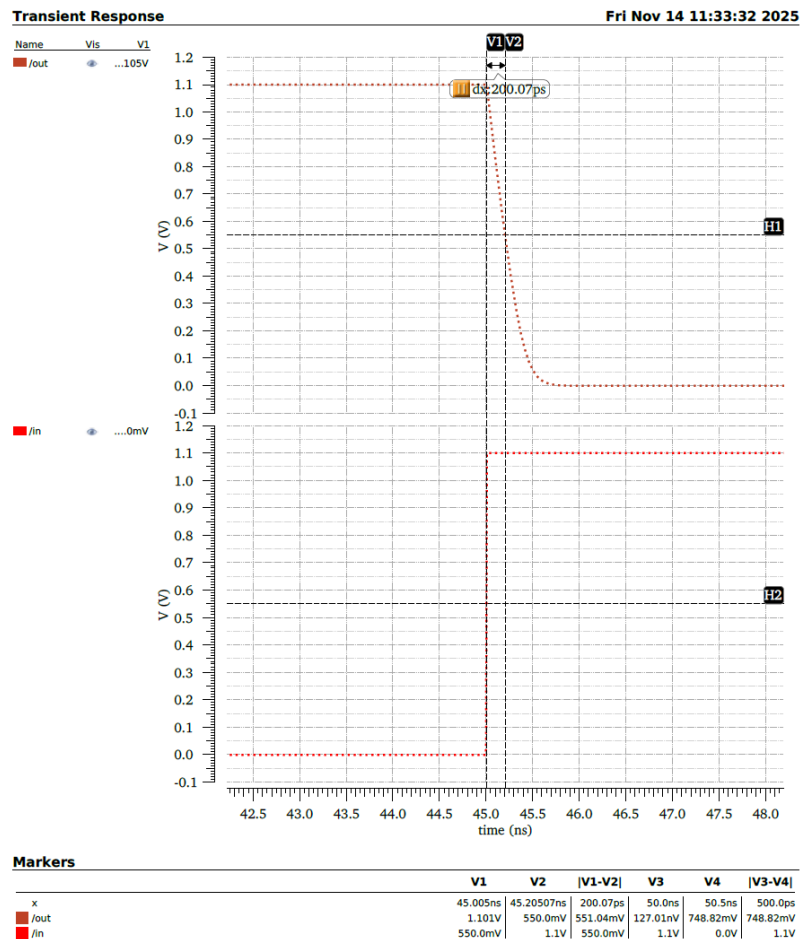


图 13 Trans 仿真结果

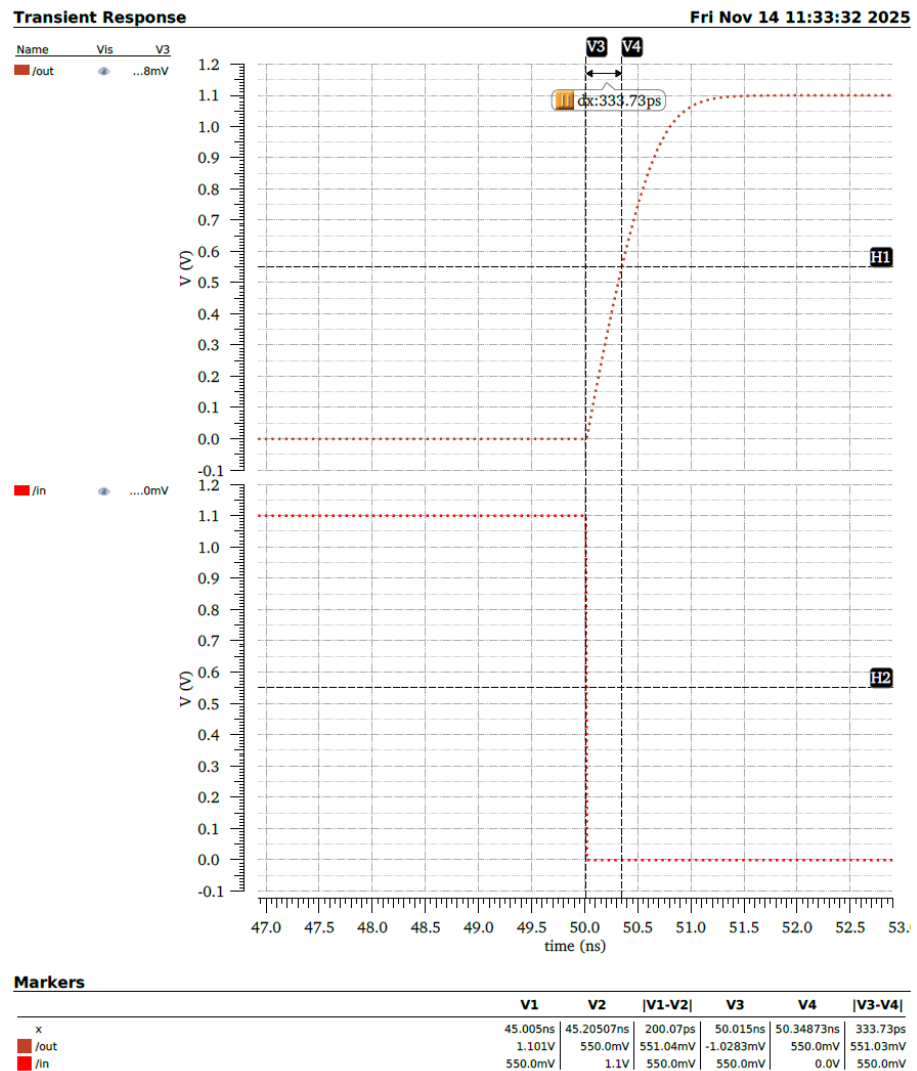


```

Key P... 200.2E-12
7 8 9 /
4 5 6 *
1 2 3 -
0 ± +
Expr expr fn
Stack
Integ(1.1*(-IT("/V0/PLUS") 0 20n " ")
IT("/V0/PLUS")
delay(?wf1 getData("/in" ?result "tran"), ?value1 0.6, ?edge1 "falling", ?nth1 1, ?td1 0.0, ?tol1 nil, ?wf2
getData("/out" ?result "tran"), ?value2 0.6, ?edge2 "rising", ?nth2 1, ?tol2 nil, ?td2 nil, ?stop nil, ?multiple
nil)
delay(?wf1 getData("/in" ?result "tran"), ?value1 0.6, ?edge1 "rising", ?nth1 1, ?td1 0.0, ?tol1 nil, ?wf2
getData("/out" ?result "tran"), ?value2 0.6, ?edge2 "falling", ?nth2 1, ?tol2 nil, ?td2 nil, ?stop nil, ?multiple
nil)

```

图 14  $T_{phl}$  计算(手动标注 & 软件计算, 公式为红色标注框)



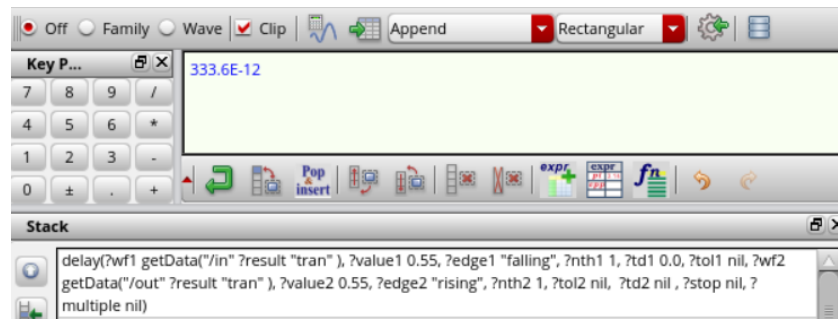


图 15  $T_{plh}$  计算(手动标注 & 软件计算, 公式在 Stack 顶层)

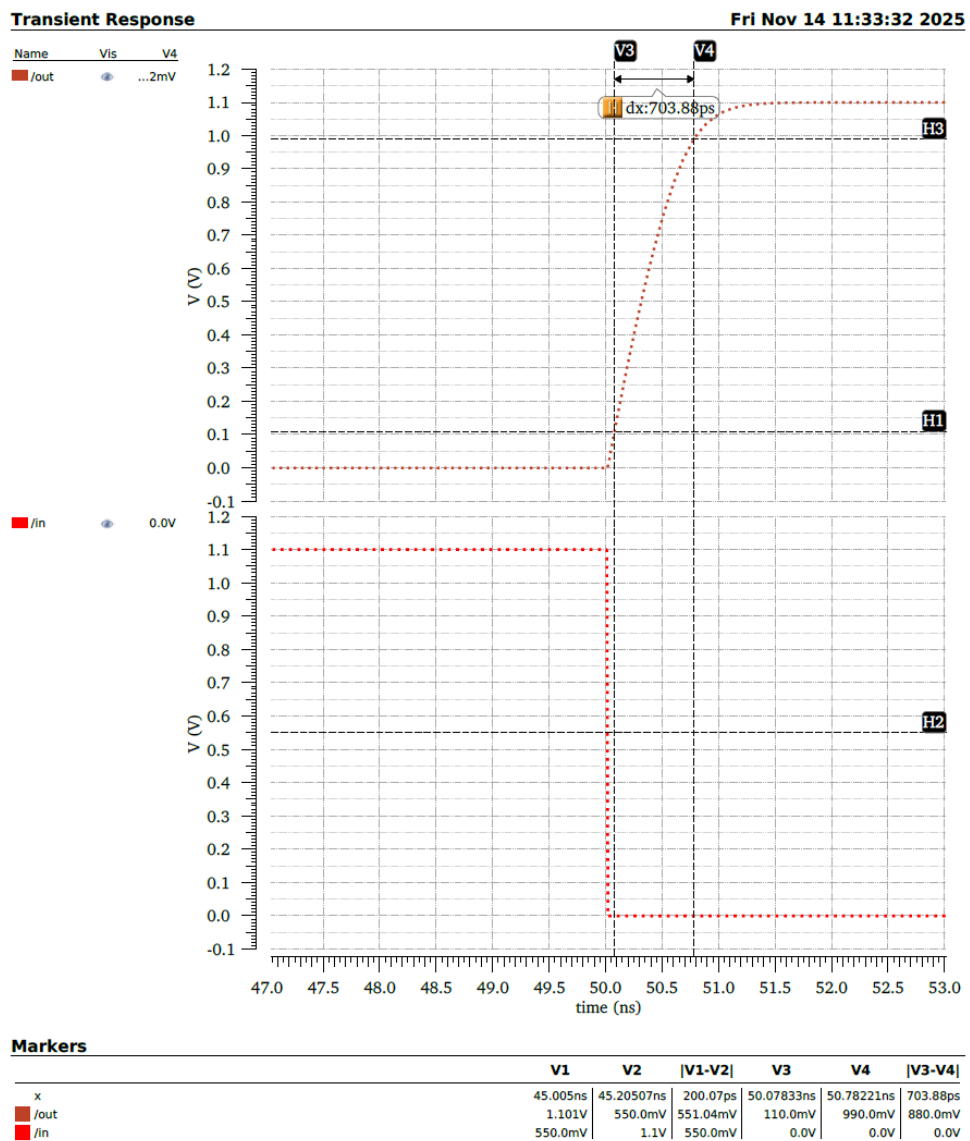
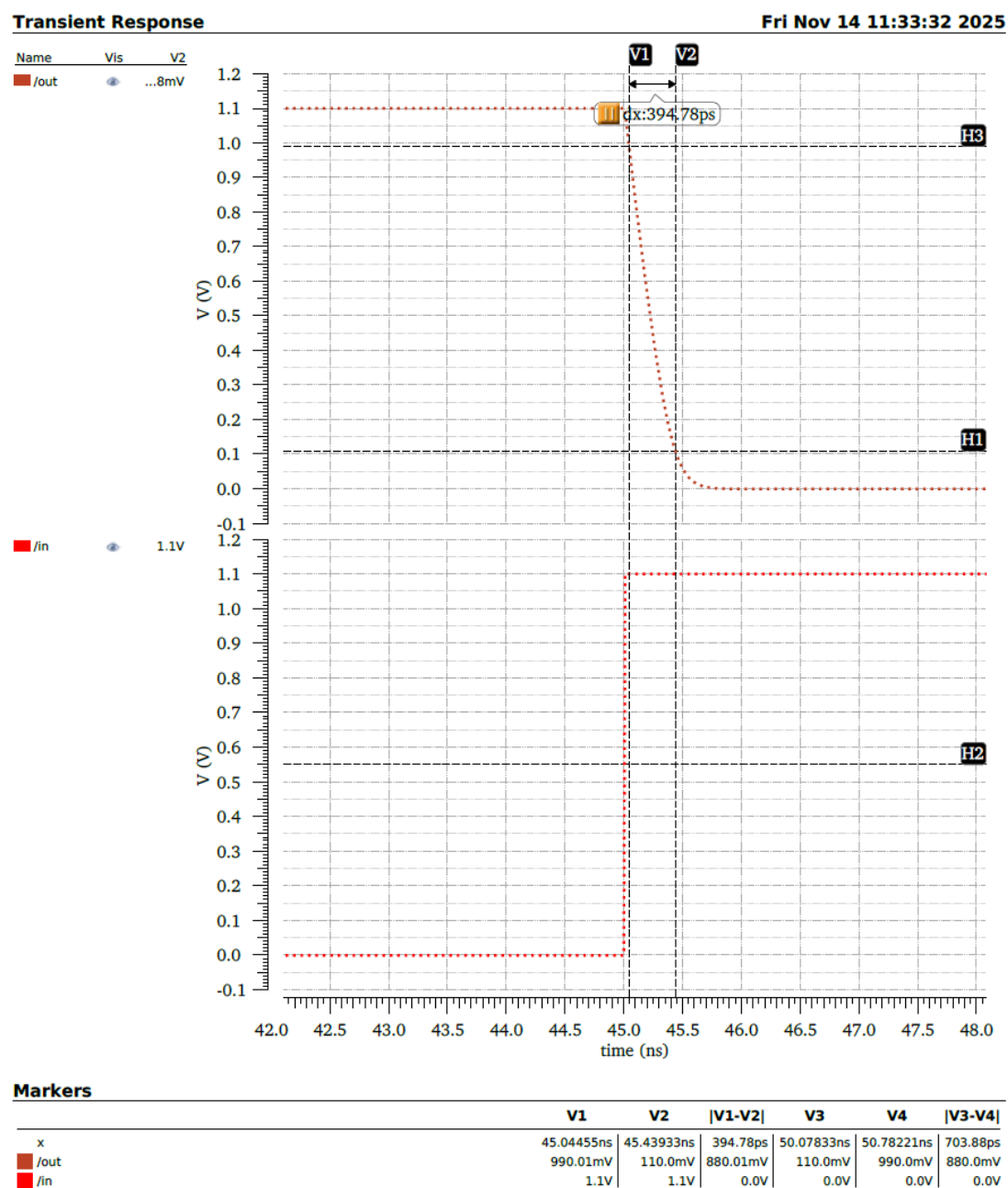




图 16  $T_r$  计算(手动标注 & 软件计算, 公式在 Stack 顶层)



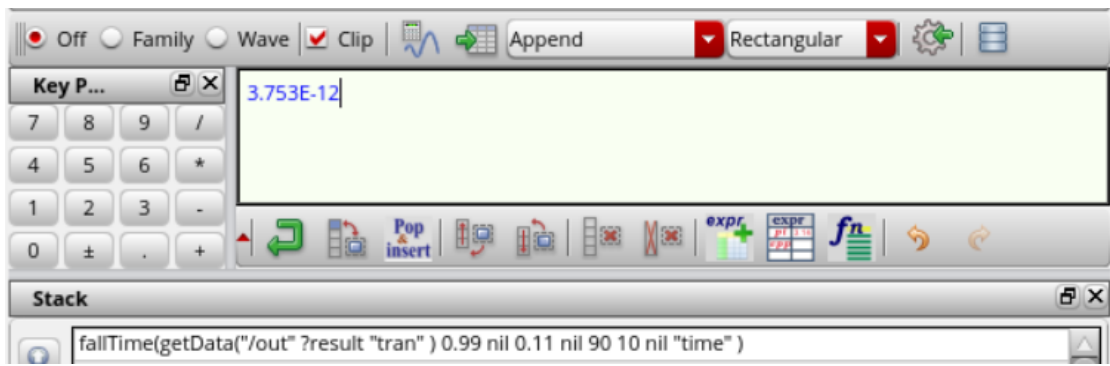


图 17  $T_f$  计算(手动标注 & 软件计算, 公式在 Stack 顶层)

子实验二:  $W_p$  尺寸优化 ( $t_{phl} = t_{plh}$ )

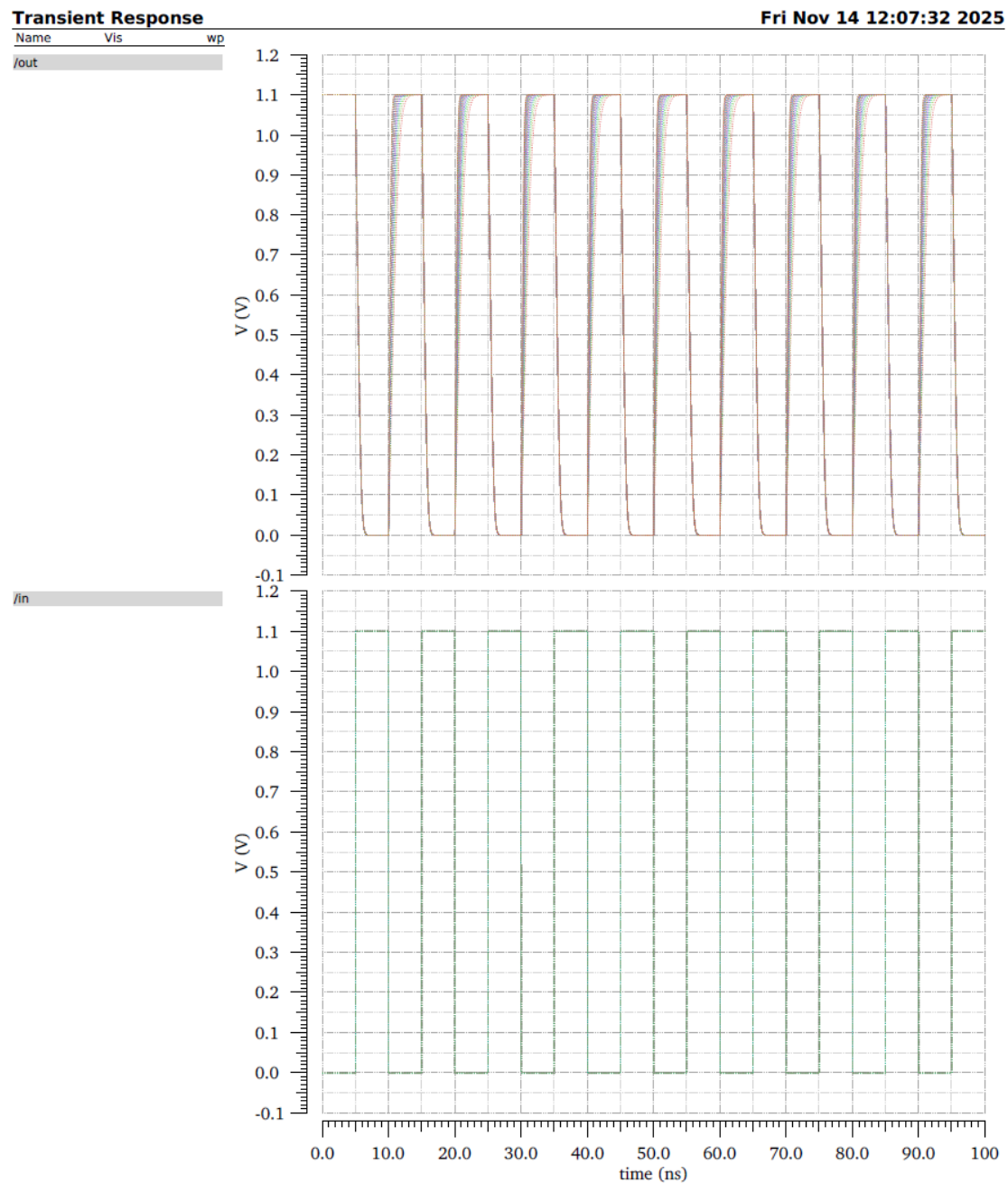


图 18  $w_p$  参数粗扫

```

delay(?wf1 getData("/in" ?result "tran" ), ?value1 0.55, ?edge1 "rising", ?nth1 1, ?td1 0.0, ?tol1 nil, ?
wf2 getData("/out" ?result "tran" ), ?value2 0.55, ?edge2 "falling", ?nth2 1, ?tol2 nil, ?td2 nil, ?stop
nil, ?multiple nil)-delay(?wf1 getData("/in" ?result "tran" ), ?value1 0.55, ?edge1 "falling", ?nth1 1, ?
td1 0.0, ?tol1 nil, ?wf2 getData("/out" ?result "tran" ), ?value2 0.55, ?edge2 "rising", ?nth2 1, ?tol2
nil, ?td2 nil , ?stop nil, ?multiple nil)

```

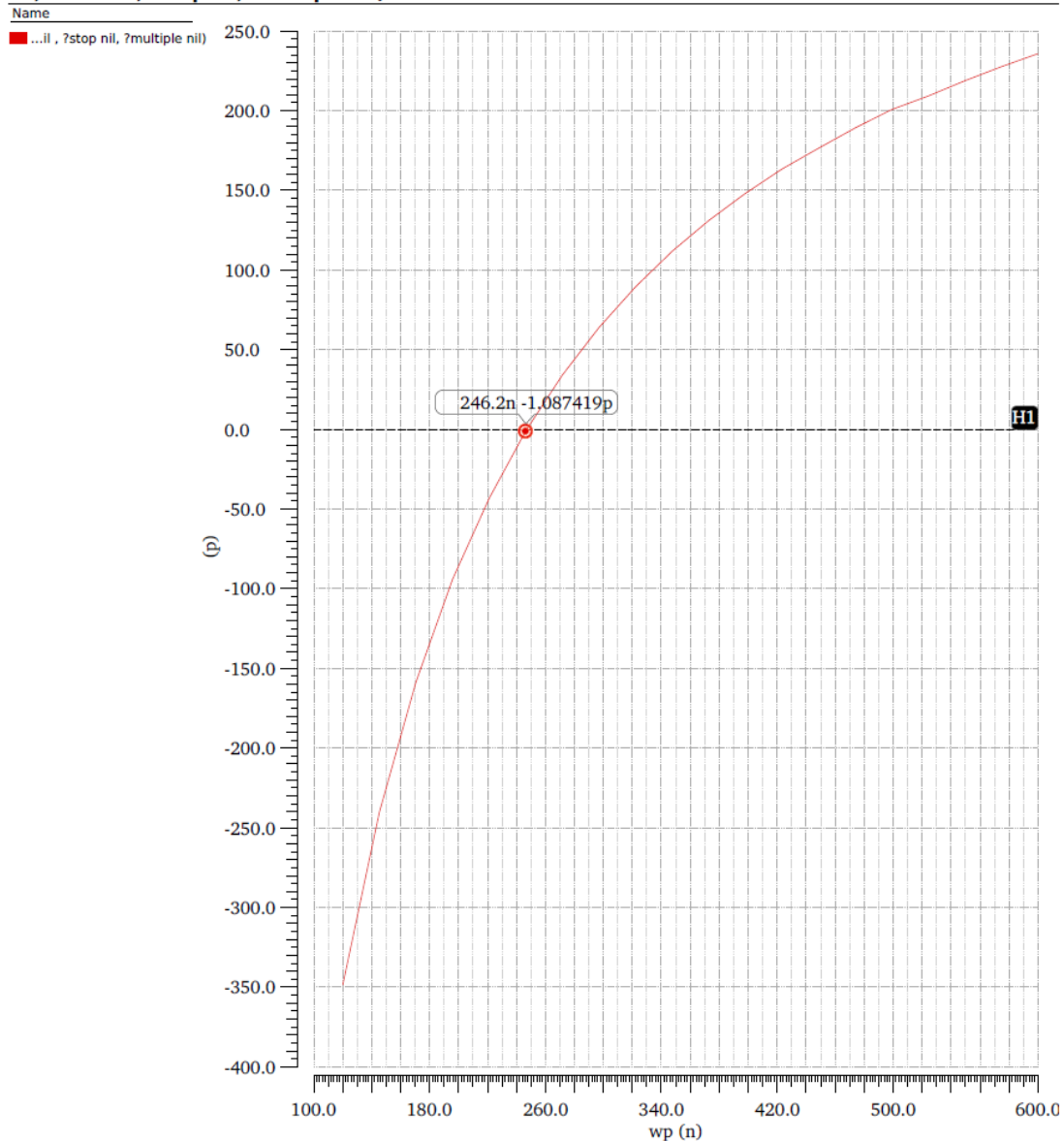


图 19  $(T_{phl} - T_{plh}) - w_p$  图 (结果在图中有标注)

仿真结果  $W_p = 246.2nm$  与预期的  $W_p \approx 225nm$  存在约 9.4% 的差异。这种差异体现了短沟道效应、高电场效应以及器件模型与简化理论计算之间的区别。

## 5.4 功耗计算

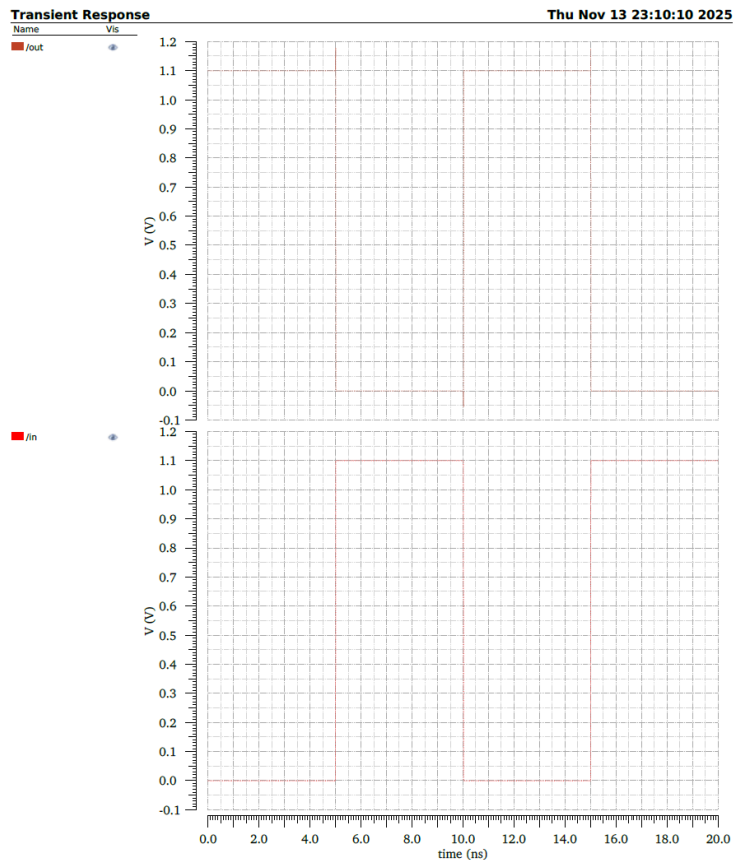


图 20 瞬态仿真信号图

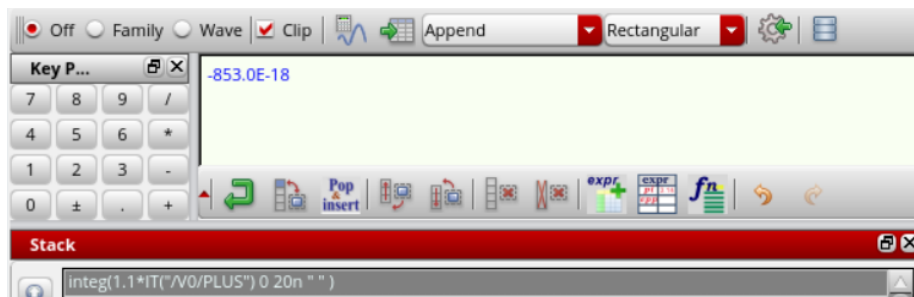


图 21 功率计算结果图

## 六、总结

本次实验采用 Cadence Virtuoso ADEL 环境，成功运用了 `cross`, `deriv`, `delay`, 和 `integ` 等核心计算器函数，结合参数扫描和瞬态仿真，实现了传统 CMOS 实验中难以手动提取的  $V_M$  值、延迟均衡尺寸 ( $W_p$ ) 和总能耗的自动计算与优化。所有关键指标的仿真结果均与题干提供的参考值高度吻合，验证了 CMOS 设计理论和所采用的仿真模型的准确性。